



## การศึกษาการอบแห้งด้วยเครื่องอบแห้งพลังงานแสงอาทิตย์แบบแอดกทิฟสำหรับหนังหมู Study of Active Solar Drying for Pork skin

นัทธินันท์ พงษ์พาณิช

คณะวิชากรรมศาสตร์ มหาวิทยาลัยพะเยา 19 ม. 2 ตำบลแม่กำ อำเภอเมือง จังหวัดพะเยา 56000

\*nuttanon.po@gmail.com, 086 3804689, fax 054 466730

### บทคัดย่อ

งานวิจัยนี้มีวัตถุประสงค์เพื่อศึกษาถึงเงื่อนไขที่มีผลต่ออัตราการอบแห้งและประสิทธิภาพทางความร้อนของเครื่องอบแห้งหนังหมูพลังงานแสงอาทิตย์

ในการศึกษาจะใช้หนังหมูที่เตรียมไว้สำหรับการทำเคบหมูเป็นวัตถุในในการอบแห้งและอบแห้งจนกราฟทั้งมีความชื้นมาตรฐานเปียกสุดท้ายประมาณ 44.16 % wb โดยมีพัดลมติดตั้งในระบบเพื่อบังคับให้อากาศร้อนจากแผงรับรังสีอาทิตย์ไหลเข้าสู่ห้องอบแห้ง ในการทดลองจะปรับความเร็วอากาศที่ทางเข้าห้องอบให้มีความเร็ว 0.08 และ 0.1 เมตรต่อวินาที และมีการใช้แผงรับรังสีอาทิตย์ 2 รูปแบบคือแบบแผ่นเรียบและแบบฟันปลา จากการทดลองอบแห้งพบว่า ประสิทธิภาพของแผงรับรังสีอาทิตย์แบบฟันปลา มีค่าเฉลี่ยดีที่สุดที่ 70.32% และเมื่อเทียบประสิทธิภาพทางความร้อนของเครื่องอบที่ได้ออกแบบ พบร่วมค่าประมาณ 24.55 % ที่ความเร็วลมร้อน 0.1 เมตรต่อวินาที

**คำหลัก:** การอบแห้ง, พลังงานแสงอาทิตย์, แผงรับรังสีอาทิตย์

### Abstract

The purpose of this research is to study the drying conditions which affect to the drying rate and thermal efficiency of solar dryer for Pork skin. In this research, two types of solar collector such as Flat plate solar collector and Serrated solar collector were used. The pork skin which is the main raw material for making pork cracking was dried continuously in the fixed bed solar dryer until its moister content reduced to approximately 44.16%. During the drying process, the ambient air is forced from outside of the dryer to pass through the solar collector, the drying chamber and over the drying trays respectively by fans. The drying experiments were carried out by varying air velocity between 0.08 m/s and 0.1 m/s. The experiments showed that the Serrated solar collector with air velocity 0.1 m/s provides the best solar collector efficiency which is about 70.32%. In this condition, the dryer thermal efficiency was 24.55%.

**Keywords:** drying, solar energy, solar collector

## 1. บทนำ

แคบหมูเป็นอาหารสำเร็จรูปชนิดหนึ่ง โดยทำจากหัวงหมูผ่านการทำให้พองตัวโดยการหยอดในน้ำมันในการปรุงรสแคบหมูทำได้หลายรูปแบบนิยมบริโภคในพื้นที่ภาคเหนือและภาคตะวันออกเฉียงเหนือในรูปแบบของอาหารคาวโดยตรง ใช้เป็นเครื่องจมูกัน้ำพริกชนิดต่าง ๆ หรือรับประทานร่วมกับข้าวมันน้ำเงี้ยว ซึ่งเป็นอาหารท้องถิ่นของชาวไทยภาคเหนือ โดยในขั้นตอนหนึ่งที่สำคัญและใช้เวลานานที่สุดในกระบวนการทำแคบหมู คือการนำหัวงหมูที่ผ่านการทำต้มให้สุกแล้วมาดึงแฉดให้แห้งเพื่อทำให้ผิวน้ำของหัวงหมูแข็งตัวอย่างพอดีมาก ซึ่งจะมีผลต่อความกรอบของแคบหมู โดยการทำให้แห้งมี 2 วิธี คือการอบโดยใช้แก๊ส LPG ที่อุณหภูมิประมาณ 60-70 องศาเซลเซียส เป็นเวลาประมาณ 8 ชั่วโมง หรือตากแดด ถ้าแดดจัดประมาณ 2 วันหัวงหมูจะแห้งสามารถนำไปใช้ในกระบวนการเคี่ยวและหยอดต่อไป สำหรับการอบแห้งโดยใช้ความร้อนจากแก๊ส LPG สามารถอบได้เร็วและใช้เวลาได้ในทุกสภาพอากาศ แต่จากการใช้งานจริงพบว่าคุณภาพในการพองตัวของแคบหมูที่ได้ไม่ดีเมื่อเทียบกับการทำตามแฉด แต่ในขณะเดียวกันการทำตามแฉดแม้จะมีข้อดี เชิงคุณภาพเมื่อนำไปหยอดเป็นแคบหมู แต่ก็มีข้อจำกัดที่เกิดจากสภาพแวดล้อมไม่เอื้ออำนวยทำให้ไม่สามารถใช้งานได้ตลอดเวลา รวมถึงการปนเปื้อนจากผู้ผลิตของหรือมลพิษทางอากาศที่เกิดจากการเผาป่าในบางช่วงของปีเพื่อให้เกิดการผลิตแคบหมูที่มีคุณภาพรวมถึงการใช้พลังงานอย่างมีประสิทธิภาพมากขึ้น การศึกษาการอบแห้งด้วยพลังงานแสงอาทิตย์จึงเป็นรูปแบบที่น่าสนใจโดยเฉพาะการอบแห้งแบบแอ็คทีฟ

สำหรับการอบแห้งด้วยพลังงานแสงอาทิตย์สำหรับผลิตภัณฑ์อาหารชนิดต่าง ๆ ที่น่าสนใจ

ไฟฟ้ารูปฐานและคง [1] ได้ศึกษาและสร้างตู้อบกับลักษณะเด่นด้วยความร้อน พบร่วมกับอุณหภูมิอบที่ 90 องศาเซลเซียส เวลาอบ 10 ชั่วโมง เป็นการทำงานที่เหมาะสมทำให้มีการใช้พลังงานไฟฟ้า 7.0 กิโลวัตต์ชั่วโมงแต่การทดสอบไม่ได้มีการระบุถึงค่าความชื้นมาตรฐานแห้งสุดท้ายและคุณภาพสุดท้ายของกล้วยหลังอบ

มีการศึกษาการอบแห้งโดยใช้พลังงานแสงอาทิตย์ด้วยแผงรับสีความร้อนแบบแผ่นเรียบ ของ ธรรมรัตน์ กั้งรวมบุตร และคณะ [2] โดยเป็นการอบแห้งกุ้ง โดยเป้าหมายในการอบที่ 20 %db พบร่วมกับความสามารถแห้งกุ้งได้เร็วขึ้นจากปกติต้องใช้เวลา 2 วัน สามารถอบให้แห้ง

ได้โดยใช้เวลาที่ดีที่สุด 8 ชั่วโมง ทั้งนี้ปัจจัยที่มีผลกระทบต่อระยะเวลาการอบได้แก่ อุณหภูมิอากาศและความชื้นของของรังสีอาทิตย์

ธีเดช ไหญ์บก และคณะ [3]ศึกษาการอบแห้งปลาด้วยเครื่องอบแห้งพลังงานร่วมแสงอาทิตย์-ไฟฟ้า เพื่อต้องการพัฒนากระบวนการผลิตปลาแห้งอนาคตภายใต้สภาพภูมิอากาศทางภาคใต้ของประเทศไทย โดยออกแบบเครื่องอบแห้งที่ใช้พลังงานแสงอาทิตย์พลังงานหลักและพลังงานไฟฟ้าเป็นพลังงานเสริม ประกอบด้วยตู้อบชนิดโปรดร่วงแสง แผงรับสีอาทิตย์มีขนาด  $4.08 \text{ m}^2$  ขนาดไฟฟ้าสำหรับทำความร้อนขนาด 800 W จำนวน 2 ชุด มีความจุของปลาที่ใช้อบได้ 50 กิโลกรัมทดลองอบแห้งปลา 2 ชนิด คือ ปลาช่อนและปลาดุก โดยให้อุณหภูมิในห้องอบแห้ง 40, 50 และ 60 °C

มีการศึกษาสมรรถนะของตัวเก็บรังสีอาทิตย์แผ่นรับแบบร่องรูปตัววี สำหรับเครื่องอบแห้งพลังงานแสงอาทิตย์ โดย ธีรศักดิ์ หุดาก [4] ซึ่งเครื่องอบแห้งพลังงานแสงอาทิตย์ประกอบด้วย ห้องอบแห้งขนาด  $1 \times 1 \times 0.7$  ลูกบาศก์เมตร ตัวเก็บรังสีอาทิตย์แผ่นรับขนาด  $3 \times 1$  ตารางเมตร ซึ่งมีลักษณะเป็นร่องรูปตัววี โดยใช้อุปกรณ์ไฟฟ้าต่อกัน 0.04 กิโลกรัมต่อวินาที ผลิตผลที่ใช้ในการอบแห้ง คือ มะเขือเทศราชนิชชัย อี้ม โดยมีความชื้นเริ่มต้น 91 เปอร์เซ็นต์มาตรฐานเปียก ทำการอบแห้งครั้งละ 5 กิโลกรัม จำนวน 4 ถาดฯลฯ 1.25 กิโลกรัม จนกระทั่งเหลือความชื้นสุดท้ายเท่ากับ 40.30 เปอร์เซ็นต์มาตรฐานเปียก จากการทดลองพบว่าในช่วงเวลา 9.00 - 17.00 น. ของวันที่มีท้องฟ้าแจ่มใส อุณหภูมิภายในห้องอบแห้งเฉลี่ยทั้งวันอยู่ที่ 47.0 °C และมีอุณหภูมิสูงสุดที่ 54.10 °C โดยมีประสิทธิภาพของตัวเก็บรังสีอาทิตย์สูงสุดที่ 56.23 % และมีประสิทธิภาพเชิงความร้อนของเครื่องอบแห้งพลังงานแสงอาทิตย์สูงสุดเท่ากับ 16.90 % เครื่องอบแห้งนี้สามารถอบมะเขือเทศราชนิชชัยอี้มในเวลา 24 ชั่วโมง ในขณะที่ตากแดดตามธรรมชาติใช้เวลาถึง 48 ชั่วโมง

งานวิจัยจะทำการศึกษาและออกแบบเครื่องอบแห้งพลังงานแสงอาทิตย์ ตลอดจนปัจจัยที่มีผลกระทบกับประสิทธิภาพของการอบแห้งหัวงหมู โดยเฉพาะการอบแห้งระบบแอคทีฟ (Active) ซึ่งจะต้องมีพัดลมช่วยให้อากาศไหลเวียนในทิศทางที่ต้องการ เพื่อพารามิเตอร์ของหัวงหมู รวมถึงการศึกษารูปแบบต่าง ๆ ของแผ่นรับ

รังสีความร้อนที่มีผลต่อความแห้งของหนังหมูและเลือกใช้ แผงรับรังสีความร้อนสำหรับการทดสอบจะทำจากแผ่นอลูมิเนียม ซึ่งมีค่าการนำความร้อนประมาณ 56% เมื่อ เปรียบเทียบกับทองแดง โดยพิจารณาจากค่า ความชื้นมาตรฐานเปียก (Wet Basis) ของหนังหมูตาม มาตรฐานการทำแคนหูของโรงงานอัจฉราแคนหู



รูปที่ 2 ลักษณะเครื่องอบแห้งหนังหมูด้วยพลังงาน แสงอาทิตย์

## 2. วัสดุอุปกรณ์และวิธีการศึกษา

### 2.1 วัสดุที่ใช้ในการทดสอบ

ใช้หนังหมูเป็นวัสดุในการอบแห้ง โดยเตรียมการ ก่อนอบแห้งโดยนำหนังหมูมาต้มจนสุกและเอามันออก จากนั้นหั่นหนังหมูให้มีขนาด  $1 \times 5$  เซนติเมตร ซึ่งเป็นส่วน หนึ่งในกระบวนการผลิตของแคนหูในปัจจุบัน โดยต้อง อบแห้งชั้นงานตั้งกล่าวให้มีความชื้นมาตรฐานเปียก สุดท้ายประมาณ  $44.16 \%wb$  โดยลักษณะของหนังหมู ตั้งกล่าวแสดงได้ตามรูปที่ 1



รูปที่ 1 การเตรียมหนังหมูสำหรับการอบแห้ง.

### 2.2 ห้องอบแห้งสำหรับการทดสอบ

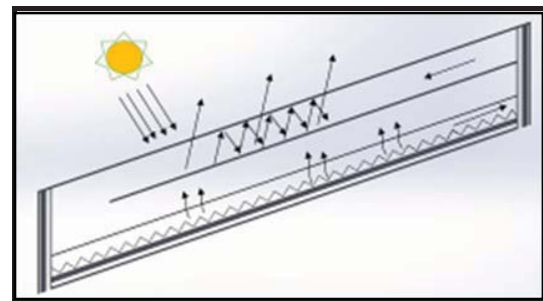
ในการทดสอบอบแห้งหนังหมูในตู้อบที่ใช้พลังงาน ความร้อนจากแสงอาทิตย์ มีอุปกรณ์หลักดังต่อไปนี้

(1) ห้องอบแห้ง ทำด้วยสังกะสีแผ่นเรียบหุ้มด้วย ผวนชนิด Close cell foam ขนาด กว้าง 1.07 เมตร ยาว 1.52 เมตร สูง 0.70 เมตร ข้างในประกอบด้วยถาด วางสำหรับตากหนังหมู 1 ถาด

(2) แผงกระเจ้าด้านบนติดตั้ง 2 ชั้น โดยกระเจ้าหนา 5 มิลลิเมตร วางห่างกัน 15 เซนติเมตร

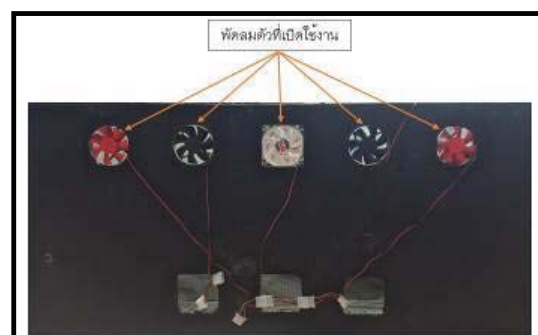
(3) แผงรับรังสีอาทิตย์ ทำด้วยอลูมิเนียมแผ่นพ่น สีดำ โดยรูปแบบของแผงรับรังสีอาทิตย์ มี 2 รูปแบบ คือ แผงรับรังสีแบบแผ่นเรียบและแผงรับรังสีแบบฟันปลา

(4) พัดลมระบายอากาศแบบติดกับผนังชุดละ 5 วัตต์จำนวน 5 ชุด



รูปที่ 3 รูปแบบของแผงรับรังสีอาทิตย์ และทิศทางของลมร้อนที่เข้าห้องอบ

เครื่องอบแห้งนี้มีสวนประกอบหลัก ดังแสดงในรูปที่ 2 และ 3 ในการทำงาน อากาศถูกบังคับให้หลอดโดยพัดลม เข้าพื้นที่ส่วนบน บนห้องกระจกร้อน ทำให้อากาศมี อุณหภูมิสูงขึ้น หลังจากนั้นลมร้อนดังกล่าวจะผ่านแผงรับ รังสีอาทิตย์ซึ่งเป็นพื้นที่ท่องอบมีหนังหมูอยู่ภายใน โดย การออกแบบทำให้สามารถควบคุมความเร็วของลมร้อน ได้โดยการเพิ่มและลดจำนวนพัดลมที่บริเวณทางเข้าของ ห้องอบ



รูปที่ 4 พัดลมระบายอากาศสำหรับการบังคับ ทิศทางของลมร้อน

### 2.3 การทดสอบและเก็บข้อมูลการอบแห้ง

#### 1) การทดสอบการอบแห้งหนังหมู

ทดสอบโดยอบแห้งหนังหมู ที่มีความชื้นมาตรฐาน เปียกตั้งต้นประมาณ 100 %wb อบแห้งจนกระแท็กได้หนังหมู มีความชื้นมาตรฐานเปียกสุดท้ายประมาณ 44.16 %wb โดยในการอบแห้งจะควบคุมความเร็วอากาศที่ผ่านเข้าห้องอบ 0.08 และ 0.1 เมตรต่อวินาที โดยการทดสอบจะทดสอบพร้อมกับแผงรับรังสีความร้อนทั้ง 2 รูปแบบ คือ แผงรับรังสีแบบแผ่นเรียบและแผงรับรังสีแบบฟันปลา



รูปที่ 4 การทดลองอบแห้งหนังหมู

#### 2) การวัดและเก็บผลการทดลอง

ทดสอบการอบแห้งโดยจะเริ่มอบแห้งตั้งแต่เวลา 9.00 น. ไปจนกระทั่งได้ผลิตภัณฑ์มีความชื้นตามต้องการ และบันทึกคุณสมบัติและบันทึกผลทุก ๆ ช่วงโมงตลอดการทดลอง ข้อมูลที่รวมรวมได้แก่

- อุณหภูมิอากาศโดยใช้เทอร์โมคัปเปิล ชนิด K บันทึกผลโดยใช้ Data logger บันทึกการอุณหภูมิภายในห้องอบทุก 15 นาที โดย ตำแหน่งของการวัดอุณหภูมิแสดงได้ตามรูปที่ 5 ได้แก่ ตำแหน่งที่ 1 เป็นตำแหน่งที่ผิวนอกจากชั้นที่ 1 ตำแหน่งที่ 2 เป็นผิวนอกจากชั้นที่ 2 ตำแหน่งที่ 3 เป็นการวัดอุณหภูมิที่ผิวของแผงรับรังสีอาทิตย์
- ความเร็วอากาศที่ทางออกของห้องอบโดยใช้เครื่องมือวัดความเร็วอากาศ Digicon DA-40
- มวลของหนังหมูที่ลดลงทุกชั่วโมงจนกระทั่งสิ้นสุดการอบแห้งโดยการซึ่งน้ำหนักชั้นทดสอบตามช่วงเวลา โดยจะนำชิ้นหนังหมูมาซึ่งแล้วทั้งชิ้นตัวอย่างนั้นไป



รูปที่ 5 ตำแหน่งการวัดอุณหภูมิของเครื่องอบแห้ง

### 3. การคำนวณและวิเคราะห์ข้อมูล

#### 3.1 การประสิทธิภาพแผงรับรังสีอาทิตย์และประสิทธิภาพเชิงความร้อนของเครื่องอบแห้ง

เริ่มจากต้องกำหนดปริมาณน้ำในผลิตภัณฑ์จะอ้างอิง เทียบกับมวลแห้งของผลิตภัณฑ์ซึ่งเรียกวัดสัดส่วนระหว่าง มวลน้ำในผลิตภัณฑ์ต่อมวลก่อนอบแห้งของผลิตภัณฑ์นี้ ว่า ความชื้นมาตรฐานเปียกของผลิตภัณฑ์ (Moisture content wet basis,  $M_w$ ) ดังสมการที่ (1)

$$M_w = \left[ \frac{(w-d)}{w} \right] \times 100 \quad (1)$$

$M_w$	คือ ความชื้นมาตรฐานเปียก
w	คือ น้ำหนักเริ่มต้นของผลิตภัณฑ์
d	คือ น้ำหนักเริ่มต้นของผลิตภัณฑ์

โดยพลังงานที่ใช้ในการอบแห้งเป็นพลังงานแสงอาทิตย์ที่ได้จากการแผงรับรังสีอาทิตย์ การประเมินความสามารถในการเก็บพลังงานความร้อนจากแสงอาทิตย์ทำได้โดยการคำนวณประสิทธิภาพของแผงรับรังสีอาทิตย์ ( $\eta_c$ ) ซึ่งเป็นอัตราส่วนของปริมาณความร้อนที่ทำให้อากาศที่ไหลผ่านแผงรับรังสีอาทิตย์มีอุณหภูมิสูงขึ้นต่อปริมาณรังสีอาทิตย์ที่แผงรับรังสีอาทิตย์ได้รับ ตามมาตรฐาน ASHRAE 93-1986 (RA91) [6] สามารถคำนวณได้ดังนี้

$$\eta_c = \frac{\dot{m}_a C_p (T_{a,o} - T_{a,j})}{G A_c} \quad (2)$$

$\dot{m}_a$	คืออัตราการไหลเชิงมวลของอากาศ (kg/s)
$C_p$	คือค่าความร้อนจำเพาะของอากาศ (kJ/kg.°C)

$T_{a,i}$  คืออุณหภูมิอากาศที่ให้เลี้ยงรับรังสีอาทิตย์ ( $^{\circ}\text{C}$ )

$T_{a,o}$  คืออุณหภูมิอากาศที่เหลือจากแผงรับรังสีอาทิตย์ ( $^{\circ}\text{C}$ )

$G$  คือค่าความเข้มรังสีอาทิตย์, ( $\text{W/m}^2$ )

$A_c$  คือพื้นที่รับแสงของแผงรับรังสีดวงอาทิตย์, ( $\text{m}^2$ )

ในการศึกษาการอบแห้ง การหาค่าประสิทธิภาพทางความร้อนของเครื่องอบแห้ง (Dryer efficiency,  $\eta_d$ ) สามารถคำนวณได้จากสัดส่วนของปริมาณความร้อนที่ใช้ในการระเหยน้ำออกจากผลิตภัณฑ์ต่อบริมาณพลังงานความร้อนที่ใช้ในการอบแห้ง ดังแสดงในสมการที่ (3)

$$\eta_d = \frac{m_w \cdot h_{fg}}{Q_E + (Q_s)} \quad (3)$$

$m_w$  คือมวลน้ำที่ระเหยออกจากผลิตภัณฑ์ ( $\text{kg}$ )

$h_{fg}$  คือปริมาณความร้อนแห้งของการระเหยต่อหน่วยมวล ( $\text{kJ/kg}$ )

$Q_s$  คือพลังงานแสงอาทิตย์ที่ใช้ในการอบแห้ง ( $\text{Kwh}$ )

$Q_E$  คือพลังงานไฟฟ้าที่ใช้สำหรับพัดลม ( $\text{Kwh}$ )

### 3.2 ผลการทดสอบและการวิเคราะห์ข้อมูล

1) การหาสมรรถนะของแผงรับรังสีอาทิตย์ที่ใช้ในเครื่องอบแห้ง

สำหรับงานวิจัยนี้ เลือกออกแบบให้เครื่องอบแห้งใช้กระจาด 2 ชั้น เพื่อทำให้ผิวของกระจาดและแผงรับรังสีอาทิตย์มีอุณหภูมิสูง จากตารางที่ 1 แสดงอุณหภูมิของผิวกระจาดชั้นที่ 1 ชั้นที่ 2 และอุณหภูมิผิวของแผงรับรังสีอาทิตย์ซึ่งเลือกใช้แบบแผ่นเรียบเป็นชุดทดสอบต้นแบบ โดยการแสดงผลของตารางที่ 1 เป็นผลของการเก็บข้อมูลในช่วงที่มีค่าความเข้มของรังสีแสงอาทิตย์เฉลี่ยสูงสุดในแต่ละวัน

ตารางที่ 1 อุณหภูมิที่ผิวกระจาดและแผงรับรังสีอาทิตย์

เวลา	อุณหภูมิผิวกระจาดชั้นที่ 1	อุณหภูมิผิวกระจาดชั้นที่ 2	อุณหภูมิแผงรับรังสีอาทิตย์
10.00 น.	43.15	48.42	55.23
11.00 น.	60.58	69.93	76.05
12.00 น.	68.32	85.07	87.33
13.00 น.	69.28	86.36	87.01
14.00 น.	71.22	86.68	87.36
15.00 น.	64.77	79.27	79.73

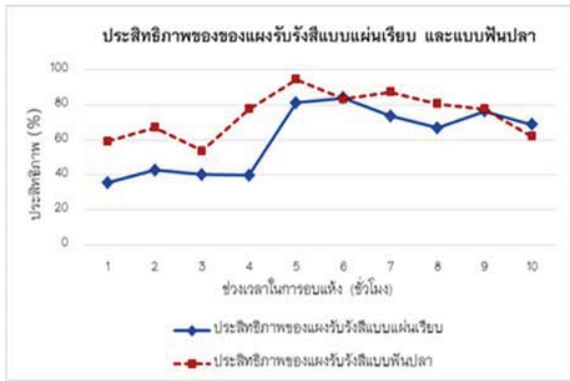
จากการใช้กระจาด 2 ชั้น พบว่าพิภาระจากชั้นที่ 2 มีอุณหภูมิสูงกว่าในชั้นแรกและอุณหภูมิของแผงรับรังสีอาทิตย์มีอุณหภูมิที่สูงที่สุด โดยปรากฏการณ์ดังกล่าวเป็นผลจากการแผงรังสีดวงอาทิตย์ผ่านกระจาดแล้วทำให้กระจาดอุ่นขึ้นและความร้อนส่วนหนึ่งจะไม่สูญเสียโดยจะถูกกักไว้ระหว่างชั้นของกระจาดชั้นที่ 1 และชั้นที่ 2 ซึ่งเป็นปรากฏการณ์เรื่องกระจายทัวไป โดยเฉพาะในช่วงตั้งแต่เวลา 10.00 – 13.00 น. ค่าความเข้มของรังสีแสงอาทิตย์มีการเพิ่มขึ้นอย่างต่อเนื่องจนมีถึงมีค่าสูงสุดในแต่ละวัน การใช้กระจาด 2 ชั้นจะมีประโยชน์สำหรับการเพิ่มอุณหภูมิของห้องอบแห้งให้สูงมากขึ้นมากกว่าการใช้กระจาดชั้นเดียว เนื่องจากอุณหภูมิของลมร้อนและผลของการแผงรังสีความร้อนจากอุณหภูมิของพิภาระและแผงรับรังสีอาทิตย์ที่สูงขึ้น อย่างไรก็ตามหลังจากเวลา 15.00 น. ไปแล้วพบว่าอุณหภูมิของพิภาระจากชั้นที่ 2 และแผงรับรังสีแสงอาทิตย์มีค่าไม่ต่างกัน ผลของการใช้กระจาด 2 ชั้น จึงไม่มีความแตกต่างในด้านของการใช้งานเครื่องอบแห้ง

หลังจากนั้นจะทำการทดสอบการใช้งานการอบแห้งของแผงรับรังสีอาทิตย์ทั้ง 2 ชนิดเพื่อประเมินความสามารถในการเก็บพลังงานความร้อนจากแสงอาทิตย์ โดยแสดงได้จากค่าประสิทธิภาพของแผงรับรังสีอาทิตย์ (Solar collector efficiency) เพื่อที่จะเลือกชนิดของแผ่นสำหรับที่จะใช้ในการทดสอบหลักของการอบแห้ง โดยประเมินความสามารถการใช้แผงรับรังสีแบบแผ่นเรียบและฟันปลาที่ความเร็วของลมร้อนที่ผ่านบริเวณห้องอบแห้งต่างกันที่ 0.08 เมตรต่อวินาที และ 0.1 เมตรต่อวินาที ได้ผลการทดสอบดังรูปที่ 5 และ รูปที่ 6

ในการทดสอบนี้จะทดสอบโดยไม่มีผลิตภัณฑ์ในเครื่องอบและเดินเครื่องอบแห้งเพื่อให้เกิดการระบายลมร้อนที่อัตราการไหลของลมร้อนตามที่กำหนดเพื่อทดสอบเฉพาะผลของการแผงรับรังสีอาทิตย์เพียงอย่างเดียวและเลือกวันที่ค่าความเข้มของรังสีอาทิตย์เฉลี่ยใกล้เคียงกันเป็นข้อมูลเบรียบเทียบ โดยช่วงเวลาการอบแห้งจะแบ่งเป็น 9 ชั่วโมงในแต่ละวันเริ่มตั้งแต่ 08.30 – 17.30 น.



รูปที่ 6 การเปรียบเทียบประสิทธิภาพของแผงรับรังสีอาทิตย์ที่ความเร็วลม 0.08 เมตร/วินาที



รูปที่ 7 การเปรียบเทียบประสิทธิภาพของแผงรับรังสีอาทิตย์ที่ความเร็วลม 0.1 เมตร/วินาที

โดยแนวโน้มประสิทธิภาพของแผงรับรังสีอาทิตย์ที่ใช้กับเครื่องอบแห้งจะขึ้นอยู่กับความเข้มของรังสีแสงอาทิตย์ที่ช่วงระยะเวลาต่าง ๆ ในรอบวันโดยความเข้มของรังสีอาทิตย์ที่สูงจะทำให้ประสิทธิภาพของแผงรับรังสีอาทิตย์สูงขึ้นไปด้วย พบร้าประสิทธิภาพของเครื่องอบแห้งฯ ที่ใช้แผงรับรังสีอาทิตย์แบบพื้นปลา มีประสิทธิภาพดีที่สุดสำหรับ намำมาใช้ในเครื่องอบแห้งที่พัฒนา สามารถสรุปเป็นค่าเฉลี่ยของประสิทธิภาพของแผงรับรังสีที่ทดสอบได้ตามตารางที่ 2

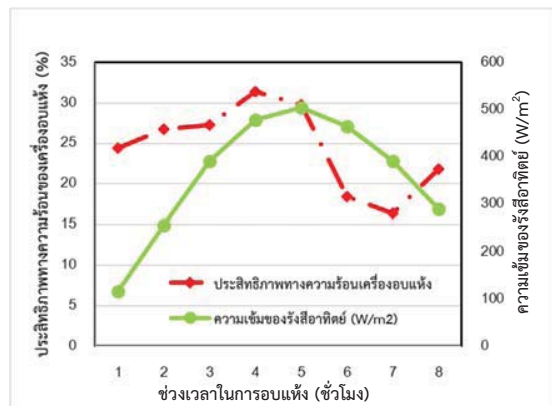
ตารางที่ 2 ประสิทธิภาพโดยเฉลี่ยของแผงรับรังสีอาทิตย์

ชนิดแผงรับรังสีอาทิตย์	ความเร็วลมร้อนที่ผ่านห้องอบ	
	0.08 เมตรต่อวินาที	0.1 เมตรต่อวินาที
แบบแผ่นเรียบ	51.85%	64.17%
แบบพื้นปลา	60.44%	70.32%

จากการทดลองทดสอบประสิทธิภาพของแผงรับรังสีอาทิตย์พบว่า แผงรับแบบพื้นปลาสามารถเก็บค่าพลังงานแสงอาทิตย์ได้ดีกว่าแบบแผ่นเรียบ

2) ค่าประสิทธิภาพทางความร้อนของเครื่องอบแห้ง (Dryer efficiency)

การหาค่าประสิทธิภาพทางความร้อนของเครื่องอบแห้ง ในงานวิจัยนี้หาได้จากการทดสอบการอบแห้งชิ้นงานนั้นคือหนังหมูที่จะเอาไปทำแคบหมู ซึ่งกำหนดให้มีการอบแห้งหนังหมูที่ 10 กิโลกรัมสำหรับแผงรับรังสีชนิดพื้นปลาและความเร็วของลมร้อนที่ผ่านหนังหมู 0.1 เมตร/วินาที จากการทดสอบพบว่าประสิทธิภาพทางความร้อนของเครื่องอบแห้งที่พัฒนาขึ้นมีค่าเฉลี่ยที่ 24.55% สามารถแสดงความสัมพันธ์ของเครื่องอบแห้งกับความเข้มของรังสีแสงอาทิตย์แต่ละช่วงเวลาในการอบแห้งได้ตามรูปที่ 8



รูปที่ 8 ความสัมพันธ์ของประสิทธิภาพทางความร้อนและความเข้มของรังสีอาทิตย์ของเครื่องอบแห้ง

ผลจากการทดสอบการอบแห้งหนังหมูเพื่อให้ได้ตามความชื้นมาตรฐานที่กำหนดจะใช้เวลาเพียง 6.25 ชั่วโมง ที่ความเข้มของรังสีแสงอาทิตย์ในวันที่ทดสอบเฉลี่ย 444.45 w/m<sup>2</sup> โดยเวลาทั้งหมดในการอบแห้ง 8 ชั่วโมง

#### 4. สรุปผลการทดสอบ

จากการทดสอบการอบแห้งหนังหมูด้วยเครื่องอบแห้งพลังงานแสงอาทิตย์ให้มีความชื้นมาตรฐานเปียกสุดท้าย 44.16 %wb เมื่อพิจารณาผลของประสิทธิภาพของแผงรับรังสีอาทิตย์ ทำให้เลือกใช้แผงรับรังสีแสงอาทิตย์แบบพื้นปลาที่ความเร็วลมร้อนภายในเครื่องอบแห้งเฉลี่ยที่ 0.1 m/s จากการทดสอบอบแห้งพบว่าค่าประสิทธิภาพทางความร้อนของเครื่องอบแห้งมีค่าเฉลี่ยที่ 24.55% โดยประสิทธิภาพของแผงรับรังสีอาทิตย์ของ

เครื่องอบแห้งขณะอบแห้งหนังหมูจะมีค่าเฉลี่ยที่ 66.64 % ซึ่งต่ำกว่าค่าเฉลี่ยเมื่อไม่มีหนังหมูที่ 70.32 % ซึ่งเป็นผลมาจากการอุณหภูมิเฉลี่ยในเครื่องอบขณะอบแห้งหนังหมูมีค่าต่ำกว่าซึ่งเกิดจากการระเหยของน้ำที่อยู่ภายในหนังหมู นอกจากนี้สามารถสรุปผลของการทดสอบได้ดังนี้

(1) ที่ความเร็วลมเท่ากัน แรงรับรังสีอาทิตย์แบบพื้น plasma มีประสิทธิภาพของแผงสูงกว่าแบบแผ่นเรียบประมาณ 6 - 12% เนื่องจากพื้นที่รับแสงอาทิตย์มีมากกว่าเท่าตัวทั้งนี้ปริมาณดักกล่าวขึ้นอยู่กับค่าเฉลี่ยของความเข้มรังสีอาทิตย์ในวันที่ทดสอบ อย่างไรก็ตามการเพิ่มพื้นที่ของแผงรับรังสีจะทำให้ต้นทุนการสร้างเครื่องอบสูงขึ้นด้วยเนื่องจากต้องใช้วัสดุเพิ่มขึ้นด้วย เมื่อพิจารณาจากชุดทดสอบต้นแบบพบว่าต้นทุนของแผงรับรังสีอาทิตย์แบบพื้นเรียบจะมีสัดส่วนที่ 12.86% ของ การสร้างเครื่องอบและเมื่อใช้แผงรับรังสีอาทิตย์แบบพื้น plasma ก็จะทำให้สัดส่วนของต้นทุนแผงเป็น 22.85% ทั้งนี้ สัดส่วนดังกล่าวอาจลดลงได้จากการเมื่อมีการใช้งานเครื่องอบแห้งที่มีขนาดใหญ่มากกว่าชุดทดสอบ

(2) ใน การทดสอบที่ความเร็วลมร้อนภายในห้องอบเพิ่มขึ้นประมาณ 20% ทำให้ประสิทธิภาพเชิงความร้อนของเครื่องอบสูงขึ้นประมาณ 10-15% จากการระเหยของน้ำที่อยู่ในหนังหมูที่เป็นผลจากการพากวนร้อน ทั้งนี้ ช่วงที่แตกต่างกันมาก - น้อย ขึ้นอยู่กับค่าเฉลี่ยความเข้มรังสีแสงอาทิตย์ที่แตกต่างกันในแต่ละวัน

(3) เมื่อทดสอบอบหนังหมูเติมพื้นที่ของเครื่องอบแห้ง พบร่วมประสิทธิภาพทางความร้อนของเครื่องอบแห้งมีค่าเฉลี่ยที่ 24.55% โดยแนวโน้มของประสิทธิภาพเชิงความร้อนที่เกิดขึ้นแปรผันตรงกับค่าความเข้มของรังสีอาทิตย์ในช่วงเวลาต่าง ๆ ในรอบวัน

(4) จากการตรวจสอบคุณภาพหนังหมูเมื่อผ่านการอบแห้ง พบร่วมคุณภาพไม่ต่างจากการอบแห้งจากการตากแดด พบร่วมข้อได้เปรียบทองเครื่องอบแห้งที่พัฒนาคือสามารถอบแห้งได้เร็วกว่าเกือบ 2 เท่า จากการทดสอบการอบแห้งหนังหมูที่ใช้เวลาน้อยสุดจะเกิดที่ความเร็วลมร้อนที่ผ่านผลิตภัณฑ์ที่ 0.1 เมตรต่อวินาทีของแผงรับรังสีแบบพื้นปลา

ข้อมูลในการศึกษาการทำแบบหมูและวิทยาลัยพลังงานและสิ่งแวดล้อม สำหรับข้อมูลค่าความเข้มแสงในช่วงระยะเวลาที่ทำการทดสอบ นายกิตติโรจน์ บุญเกิด นายชัยพร งามส่งฯ นายประกิต จัดของและนายวิชิตชัย กิติวรรณ ร่วมดำเนินงานวิจัยและเก็บข้อมูล

## 6. เอกสารอ้างอิง

- [1] ไฟฟาร์ย รูปบุха และคณะ, การออกแบบสร้างตู้อบกล้วย คณฑ์เทคโนโลยีการเกษตรและเทคโนโลยีอุตสาหกรรม. มหาวิทยาลัยราชภัฏนครสวรรค์, 2550
- [2] ธรรมรัตน์ กังรวมบุตร และคณะ, อุปกรณ์อบกุ้งโดยใช้พลังงานแสงอาทิตย์ ภาควิชาวิศวกรรมเครื่องกล คณะวิศวกรรมศาสตร์ มหาวิทยาลัยบูรพา, 2549
- [3] รีเดช ใหญ่บก และคณะ, การพัฒนาระบบการอบแห้งปลาด้วยเครื่องอบแห้งพลังงานร่วมแสงอาทิตย์-ไฟฟ้า ภายใต้สภาพภูมิอากาศภาคใต้ของประเทศไทย, วารสารมหาวิทยาลัยทักษิณ, ปีที่ 12 ฉบับที่ 3 ตุลาคม – มกราคม 2553; หน้าที่ 109 ถึง 118
- [4] รีศักดิ์ หุくだกร, การศึกษาสมรรถนะของตัวเก็บรังสีอาทิตย์แผ่นราบแบบร่องรูปตัววี สำหรับเครื่องอบแห้ง พลังงานแสงอาทิตย์, ใน; เอกสารการประชุมวิชาการเครือข่ายวิชากรรมเครื่องกลแห่งประเทศไทย ครั้งที่ 23 จังหวัดเชียงใหม่ 2552
- [5] Frank P. Incropera, David P. Dewitt, Theodore L. Bergman and Andrienne S. Lavine: Fundations of Heat Transfer sixth edition. John Wiley & Son; 2007. p.899.
- [6] ASHRAE Standard, Methods of Testing to Determine the Thermal Performance of Solar Collectors, ISSN 1041-2336: ANSI/ASHRAE 93-1986 (RA91).

## 5. กิตติกรรมประกาศ

ขอบคุณสถานประกอบการ โรงพยาบาลราชวิถี ได้อี๊เพื่ออำนวยสถานที่ในการรวมและ การเก็บ